

نشریه علمی جغرافیا و برنامه‌ریزی، سال ۲۴، شماره ۷۱، بهار ۱۳۹۹، صفحات ۱۵۰-۱۲۵

تاریخ دریافت: ۱۳۹۶/۱۰/۸

تاریخ پذیرش نهایی: ۱۳۹۷/۰۴/۱۷

پنهانه بندی خطر زمین لغزش در حوضه آبریز طالقان با استفاده از شاخص آنتروپی شانون

شهرام روستایی^۱

داود مختاری کشکی^۲

زهرا اشرفی فینی^۳

چکیده

هدف از تحقیق حاضر اولویت‌بندی عوامل موثر بر وقوع زمین لغزش با استفاده از شاخص آنتروپی شانون و تهییه نقشه خطر پذیری حوضه با استفاده از روش اولویت بندی می‌باشد. به این منظور با استفاده از تصاویر ماهواره‌ای ASAR از سنجنده ENVISAT در سال‌های ۲۰۰۳ الی ۲۰۰۹ و بازدیدهای صحراوی ۱۷ پنهانه لغزشی به صورت انتخابی شناسایی و نقشه‌پراکنش زمین لغزش‌های منطقه مورد مطالعه در محیط نرم افزار ARCGis تهییه گردید. لایه‌های اطلاعاتی شبیب، جهت شبیب، هیبسومتری، نسبت مساحت سطح(ASR)، شاخص موقعیت توپوگرافی (TPI)، شاخص طول شبیب(ALS)، شاخص رطوبت(TWI)، زمین شناسی، کاربری اراضی، شاخص پوشش گیاهی نرمال شده(NDVI)، فاصله از گسل، فاصله از رودخانه و فاصله از جاده به عنوان عوامل موثر بر وقوع زمین لغزش شناسایی و نقشه‌های مذکور در محیط سامانه اطلاعات جغرافیایی تهییه ورقومی گردید. اولویت بندی عوامل موثر با استفاده از شاخص آنتروپی شانون نشان داد که لایه‌های جهت شبیب دامنه،

۱ - استاد گروه جغرافیای طبیعی، دانشگاه تبریز، تبریز، ایران (نویسنده مسون)

Email: roostaei@tabrizu.ac.ir-Tel: 09143134410

۲ - استاد گروه جغرافیای طبیعی، دانشگاه تبریز، تبریز، ایران

۳ - دانشجوی دکتری ژئومورفولوژی، دانشگاه تبریز، تبریز، ایران

کاربری اراضی، ارتفاع، شبب، شاخص پوشش گیاهی نرمال شده و فاصله از رودخانه بیشترین تاثیر را بر موقع زمین لغزش حوضه و عوامل شاخص رطوبت، زمین‌شناسی و شاخص موقعیت توپوگرافی کمترین تاثیر را داشته‌اند. همچنین تهیه نقشه خطر زمین لغزش با استفاده از مدل آنتروپی و جمع نقشه‌های وزنی در محیط GIS بدست آمده است. راساس نقشه پهنی بندی خطر زمین لغزش، مناطق واقع در شمال شرق برخی مناطق مرکزی و جنوب غرب دارای خطر بسیار کم تا کم می‌باشد، در حالیکه بیشتر مناطق مورد مطالعه دارای خطر متوسط تا بسیار زیاد می‌باشد.

واژگان کلیدی: خطر زمین لغزش، شاخص آنتروپی شانون، سامانه اطلاعات جغرافیایی، حوضه طالقان

مقدمه

زمین‌لغزش یکی از فرایندهای ژئومورفیکی اصلی تأثیرگذار بر چشم‌انداز تکاملی در مناطق کوهستانی به شمار می‌رود که باعث حوادث فاجعه‌باری شده است. (هاتانچی و مرویاکی^۱، ۲۰۰۹: ۴۵۰). طبق مطالعات انجام شده، زمین‌لغزش به تنهایی ۱۷ درصد از بلایای طبیعی جهان را به خود اختصاص داده است (کوهورست^۲ و همکاران، ۲۰۰۵: ۶). بر طبق جهانی مخاطرات طبیعی^۳ در سال ۲۰۱۲، لغزش در میان هفت بلایای طبیعی خطرناک جهان قرار گرفت. (فتحی و همکاران، ۲۰۱۵: ۵۱۶). امروزه نیاز فرایندهای برای مدیریت خطر زمین لغزش به صورت کمی و پهنه‌بندی آن وجود دارد (فل و همکاران، ۲۰۰۸: ۸۵). تهیه نقشه‌ی وقوع خطر زمین‌لغزش، ابزاری اساسی برای فعالیت‌های مدیریت بحران در نواحی کوهستانی است (کوماردهال^۴: ۲۰۰۸: ۴۹۶). نظر به اهمیت موضوع، شناخت عوامل مؤثر در وقوع زمین‌لغزش و مناطق مورد خطر امری ضروری به نظر می‌رسد. آنتروپی به معنای کمیتی از بی-نظمی بین علل، نتایج یا تصمیم‌گیری‌ها در موضوعات مختلف می‌باشد و به ویژه در مطالعات

^۱- Hattanji & Moriwaki

^۲- Koehorst

^۳- Global organization of natural dangers.

^۴- Fathietal.

^۵- Felletal.

^۶- Kumar Dahal

ژئومورفولوژی نظری زمین لغزش که داده‌های موجود با عدم قطعیت‌ها روبرو هستند می‌تواند کار آیی بالایی داشته باشد (Wan و همکاران^۱، ۲۰۰۹: ۲۳۸). آنتروپی افزون بر تعیین کمیت انرژی، کیفیت انرژی را نیز اندازه‌گیری می‌کند و این کیفیت، اندازه‌گیری بی‌نظمی در یک سیستم است (منزلی و همکاران^۲، ۲۰۰۸: ۱۴۵). از این رو مطالعات مختلفی با استفاده از تئوری آنتروپی شانون در بحث زمین لغزش صورت گرفته که عبارتنداز: به منظور مدل‌سازی مکانی زمین لغزش در شهر Guanzhou چین از چهار مدل تئوری تابع اطمینان، نسبت فراوانی، ماکزیمم آنتروپی و رگرسیون لجستیک استفاده نمودند. نتایج صحت سنجی مدل نشان داد که مدل رگرسیون لجستیک با سطح زیر منحنی ۰/۸۲ دقت را داشته است(هونگ و همکاران^۳، ۲۰۱۶: ۱۱۲). به منظور تهیه‌ی نقشه‌ی حساسیت زمین لغزش از مدل‌های نسبت فراوانی، وزن واقعه، شاخص آنتروپی و دمپستر- شیفر استفاده شده است، نرخ پیش‌بینی به ترتیب ۰/۹۵، ۰/۹۴۶، ۰/۹۵۲ و ۰/۹۳۴ به دست آمد(یوسف^۴ و همکاران، ۶۵: ۲۰۱۶). نقشه‌ی حساسیت زمین لغزش حوضه‌ی San Pedro Creek در آمریکا را با استفاده از مدل‌های ترکیبی فیزیکی و ماکزیمم آنتروپی تهیه شد و نتایج حاکی از آن است که نقشه‌ی شاخص پایداری از لحاظ پتانسیل حساسیت اغراق آمیز است(Divous و Blesius^۵: ۴۲۷۲: ۲۰۱۵). نقشه‌ی خطر زمین لغزش را با استفاده از شاخص آنتروپی و رگرسیون لجستیک در بخشی از جاده Mugling-Narayanghat در کشور نپال تهیه شد و در این مطالعه، شب، جهت شب، ارتفاع، انحناء زمین، کاربری زمین، سنگ شناسی، فاصله از رودخانه، فاصله از جاده، فاصله از گسل، شاخص توان آبراهه، شاخص حمل رسوب و شاخص رطوبت توپوگرافی به عنوان عوامل مؤثر در لغزش بکار گرفته شد. نتایج اعتبارسنجی نقشه خطر به وسیله‌ی منحنی ROC نشان داد که نقشه‌ی تهیه شده با استفاده از شاخص آنتروپی با ۹۰/۱ درصد دارای دقت بالایی است. (دوکوتا^۶ و همکاران، ۲۰۱۳: ۱۳۷) ارزیابی مدل آنتروپی در پهنه بندی رخداد زمین لغزش در تاقدیس نیار واقع در زاگرس شمال غربی در

¹- Wan et al.²-Minasnyetal.³- Hong⁴- Youssef⁵ - Davisand Blesius⁶-Devkota

سال ۱۳۹۱ انجام شد و نتایج حاصل از این پژوهش نشان داد که مدل آنتروپی کارآیی مطلوبی در پنهانه بندی رخداد زمین لغزش دارد و ارتفاع و شب و لیتولوژی به ترتیب بیشترین نقش را در رخداد زمین لغزش دارند(مقیمی و همکاران، ۱۳۹۱: ۷۸). پتانسیل سنجی خطر زمین لغزش با استفاده از مدل آنتروپی در منطقه‌ی شیرپناه استان کرمانشاه بررسی و نتایج نشان داد که عوامل فاصله از گسل، شب، ارتفاع، لیتولوژی و جهت شب به ترتیب بیشترین تأثیر را در وقوع زمین لغزش در منطقه داشته است(محمدخان و همکاران، ۱۳۹۳: ۹۰). منطقه طالقان از جمله مناطقی است که به علت نوع لیتولوژی زمین، شب‌های دامنه‌ای نسبتاً تندر، بارندگی و رطوبت فراوان مستعد زمین لغزش می‌باشد. بنابراین هدف از تحقیق حاضر اولویت بندی عوامل موثر بر زمین لغزش و پنهانه بندی حساسیت آن با استفاده از شاخص آنتروپی شانون در حوضه طالقان است.

موقعیت حوضه طالقان

حوضه طالقان که یکی از زیرحوضه‌های مهم حوضه آبریز سفیدرود به شمار می‌رود، در دامنه جنوبی رشته کوه‌های البرز و در بخش شمال غربی در فاصله ۹۰ کیلومتری از شهر تهران واقع شده است. این حوضه از شمال به حوضه آبریز شاهروド محدود می‌گردد. آباد و از شرق به بخشی از حوضه آبریز کرج و از غرب به حوزه آبریز شاهرود محدود می‌گردد. این حوضه بین دو عرض جغرافیایی "۳۶° ۲۱' ۱/۷"□ ۳۶° ۵۰' ۰۵"□ ۳۹° ۴۲' ۰۵"□ ۳۵° ۵۵' ۹/۹" و طول جغرافیایی "۱۶۴° ۰۰' ۰۰" محدود می‌شود. طالقان در حدود ۹۸۳/۳۴ کیلومتر مریع است ولی باید توجه داشت که محدوده مطالعاتی در این طرح فقط شامل حوضه آبریز سد طالقان است. ارتفاع حوضه از سطح دریا از ۱۶۴۰ تا ۴۲۵۰ متر متغیر است رود خانه طالقان در مرکز این حوضه از گردنۀ عسلک در غرب کندوان سرچشمۀ می‌گیرد و به سمت غرب در جریان است این رود خانه پس از دریافت شاخه‌های پر آبی مانند رودهای علی زان-مهران خجیره حسنجون و اورازان و... طی چندین کیلو متر به رودخانه الموت می‌پیوندد و پس از آن با نام رود خانه شاهرود به دریاچه سد سفید رود می‌ریزد. دسترسی به دره طالقان و منطقه طرح با طی کردن مسیر اتوبان کرج به سوی قزوین و وارد شدن به جاده انحرافی و اختصاصی طالقان - که ۴ کیلومتر بعد از آییک واقع شده



است- و پس از طی ۲۸ کیلومتر از کناره اتوبان و عبور از فراز گردنی ابراهیم آباد محدود می‌باشد

مواد و روش‌ها

این پژوهش به لحاظ هدف، کاربردی و به لحاظ روش، تحلیلی است در این پژوهش با استفاده از بازدیدهای صحرایی ۱۷ پهنه لغزشی شناسایی و نقشه پراکنش زمین لغزش‌های حوضه تهیه گردید (نقشه شماره ۱). لایه‌های اطلاعاتی درجه شیب، جهت شیب، طبقه ارتفاعی، لیتوژوژی، کاربری اراضی، فاصله از جاده، فاصله از آبراهه، فاصله از گسل، شاخص توان آبراهه (Topographic wetness index)، شاخص رطوبت (Strema power index) شاخص گیاهی تفاضلی نرمال شده (NDVI) نسبت مساحت سطح (surface area ratio) و شاخص وضعیت توپوگرافی (Topographic position index) به عنوان عوامل موثر بر وقوع زمین لغزش شناسایی و نقشه‌های مذکور در محیط سامانه اطلاعات مکانی رقومی می‌گردند به این منظور با استفاده از نقشه توپوگرافی در مقیاس ۱: ۲۵۰۰۰، نقشه مدل رقومی ارتفاعی (Digital elavlion model) تهیه و عوامل درجه شیب، جهت شیب، طبقه ارتفاعی، نسبت مساحت سطح (رابطه ۱)، شاخص رطوبت (رابطه ۲) شاخص توان آبراهه (رابطه ۳) و شاخص وضعیت توپوگرافی از آنان استخراج گردید (شکل شماره ۲ الی ۱۴). لایه‌های اطلاعاتی کاربری اراضی و شاخص گیاهی تفاضلی نرمال شده از روی تصاویر ماهواره‌ای با توان تفکیک ۳۰ متر با الگوریتم ehler ایجاد گردید نقشه زمین‌شناسی حوضه نیز شامل برگه ۱: ۱۰۰۰۰ sheet (برگه‌های مکران و مرزن آباد) بوده که از سازمان زمین‌شناسی کشور تهیه، در محیط نرم افزار Arc GIS رقومی و لایه‌های لیتوژوژی و حریم فاصله تاگسل از آن استخراج گردید لایه‌های مربوطه به آبراهه و جاده‌ها و کاربری نیز از نقشه توپوگرافی منطقه مورد مطالعه تهیه گردید.

$$SAR = (S / A_S) \quad \text{رابطه (۱)}$$

$$TWI = \ln(A_S / \tan \beta) \quad \text{رابطه (۲)}$$

$$STI = \left[\frac{A_S}{2213} \right]^{0.6} \left[\frac{\sin \beta}{0.0896} \right]^{1.3} \quad \text{رابطه (۳)}$$

که در آن S : سطح منطقه، As : مساحت حوضه آبریز β گرادیان شیب بر حسب درجه STI بیانگر توان حمل آبراهه و یا به عبارتی عامل Length Andslope مدل Adapted Length Andslope است که مدل مذکور اصلاح شده معادل جهانی تلفات خاک (Universal soil loss equation) می‌باشد (موری ۱ و همکاران ۱۹۹۳: ۴۴۶).

شاخص آنتروبی شانون

آنتروبی، یکی از رویدکرها مدیریت است که به منظور برخورد با بی‌نظمی، بی‌ثباتی، اغتشاش و عدم یقین‌های موجود در یک سیستم مورد استفاده قرار می‌گیرد (یوفنگ ۲ و همکاران، ۲۰۰۹: ۸۴) تئوری مذکور اولین بار توسط استفان بولتزمن (اصل دما پویا یا ترمودینامیک) مطرح و نهایتاً توسط شانون (۱۹۴۸) به صورت کمی ارائه شد (شانون، ۳: ۱۹۴۸: ۳۸۳) آنتروبی در حقیقت بیانگر آن است که چگونه از بین عوامل موثر یک هدف، می‌توان مهم ترین عوامل را تخمین زد یا به عبارتی متغیرهایی که بیشترین تاثیر را در رخداد یک واقعه دارند برای ما مشخص می‌نماید. از آن جایی که در پهنه بندی حساسیت زمین لغزش، بسته به شرایط منطقه معمولاً فاکتورهای مختلفی تاثیرگذار بوده و همچنین در تعیین میزان خطر با استفاده از مدل‌های آماری و اطلاعاتی، تمامی عوامل موثر بر وقوع لغزش وزن یکسانی دارند و چنانچه یکی از عوامل وزن بیشتری داشته باشد تاثیر آن نادیده گرفته می‌شود (راماکریشنا ۴ و همکاران، ۲۰۰۵: ۵۶). بنابراین تئوری مذکور می‌تواند به عنوان یک رویکرد مدیریتی تاثیر بسزایی در شناسایی عوامل موثر و میزان تاثیرگذاری آنها داشته باشد (شارما ۵ و همکاران، ۲۰۱۰: ۴۲۴). به طور کلی به منظور اولویت بندی عوامل موثر بر وقوع زمین لغزش و تهییه نقشه حساسیت پذیری آن با استفاده از روش مذکور از رابطه‌های ۴ تا ۱۰ استفاده گردیده (کنستانتن ۶ و همکاران، ۲۰۱۱: ۴۰۰).

^۱- Moore

^۲- Yufeng

^۳- SHanoon

^۴- Ramakrishna

^۵- SHarma

^۶- Constantin



$$(P_{ij}) = \left[\frac{P_{ij}}{\sum_{j=1}^{sj} P_{ij}} \right] \quad \text{رابطه (۴)}$$

$$(H_j) = \sum_{j=1}^{sj} P_{ij} \log 2(P_{ij}), j = 1, \dots, n \quad \text{رابطه (۵)}$$

$$H_{jmax} = \log 2s_j, s_j - \text{numberofclasses} \quad \text{رابطه (۶)}$$

$$I_j = \frac{H_{jmax} - H_j}{H_{jmax}} = I = (0.1), j = 1, \dots, n \quad \text{رابطه (۷)}$$

$$W_j = I_j p_{ij} \quad \text{رابطه (۸)}$$

K ضریب ثابت است و از رابطه (۹) به دست می‌آید (در این رابطه m تعداد زمین لغزش‌ها است):

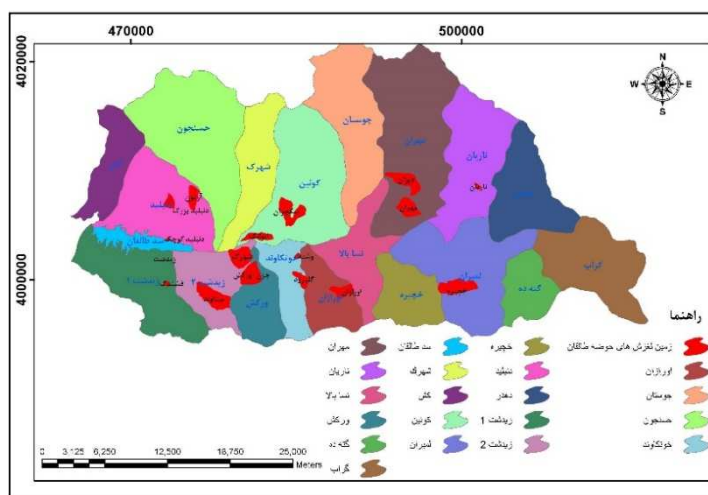
$$k = (Lnm)^{-1} \quad \text{رابطه (۹)}$$

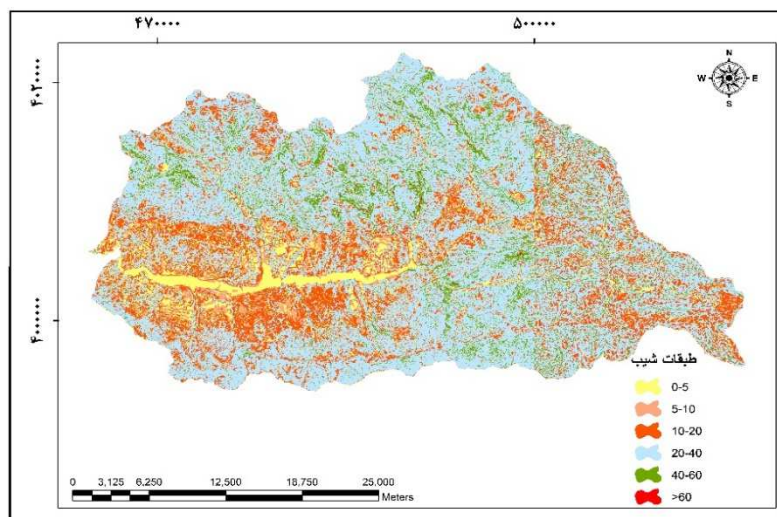
که در آن: p_{ij} : تراکم لغزش هر طبقه، (p_{ij}) احتمال تراکم لغزش هر عامل و کلاس‌های مرتبط با آن، j و h_{jmax} : مقادیر آنتروپی و ماکزیمم آنتروپی، I_j ضریب اطلاعات و W_j : وزن نهایی هر عامل. بعد از تعیین وزن نهایی هر عامل و ضرب آن در کلاس‌های عامل مذکور یعنی مقدارهای p_{ij} مربوط به هر عامل و کلاس‌های آن، نقشه‌های وزنی با هم جمع شده و نقشه نهایی حساسیت زمین لغزش به دست می‌آید طبقه‌هایی که حساسیت بیشتری دارند وزن بیشتری به خود اختصاص می‌دهند.

پس از محاسبه وزن کل w_j پهنه بندی خطر زمین لغزش در حوضه طالقان با استفاده از رابطه ۱۰ ارزیابی می‌شود.

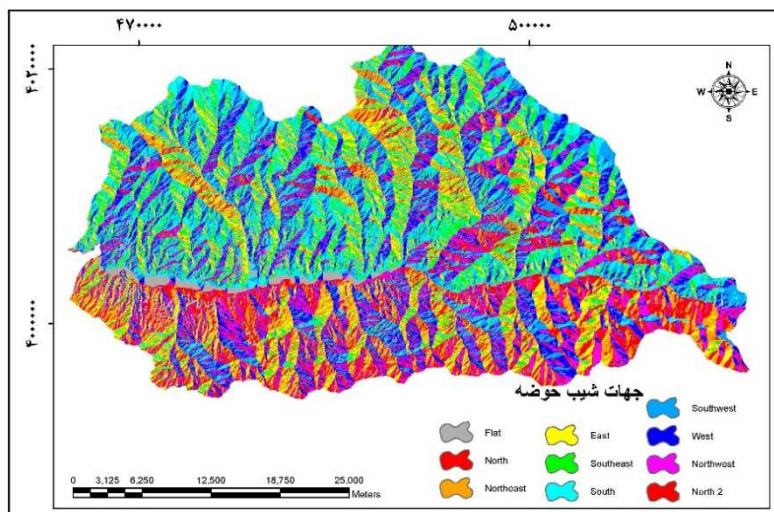
$$H_i = \sum_j^n w_j * r_{ij} \quad \text{رابطه (۱۰)}$$

در این رابطه ضریب رخداد زمین لغزش، W_i وزن نهایی تمام عوامل و r_{ij} وزن هر یک از عوامل است (زونگجی ۷ و همکاران، ۱۳۳۶: ۲۰۱۰). این رابطه مدل ناحیه‌ای میزان خطر زمین لغزش در منطقه مطالعاتی است.

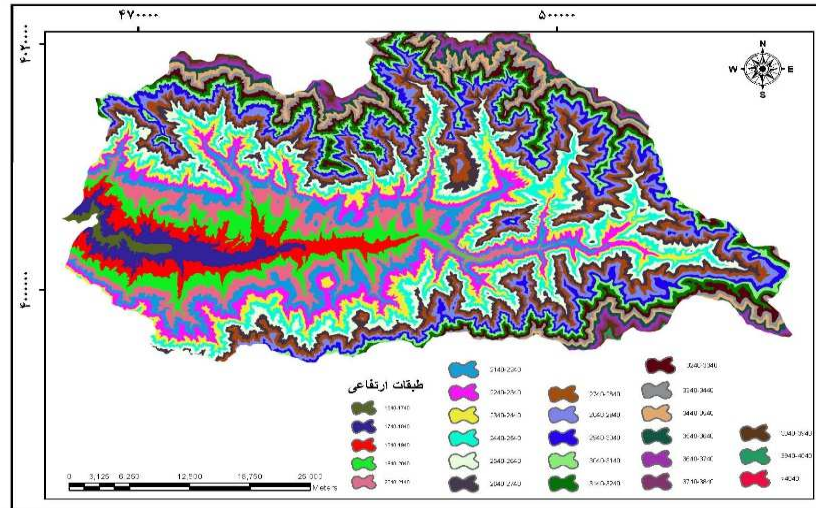




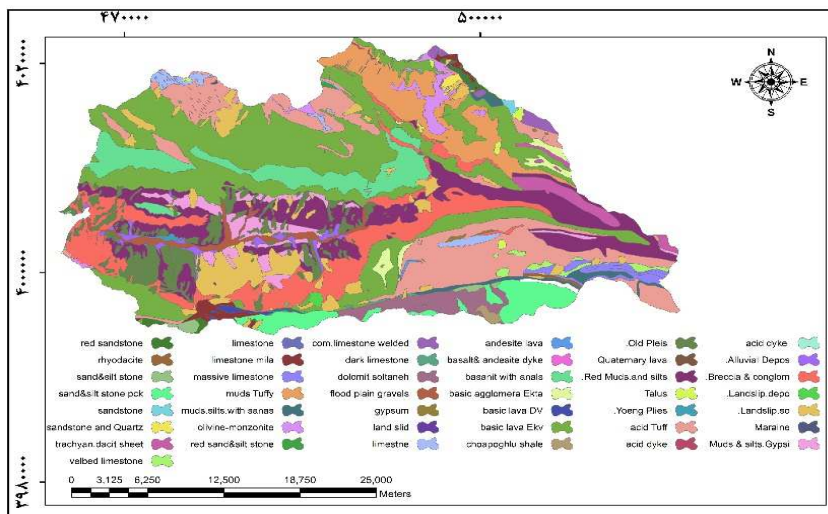
شکل (۲) نقشه طبقات شیب در حوضه طالقان



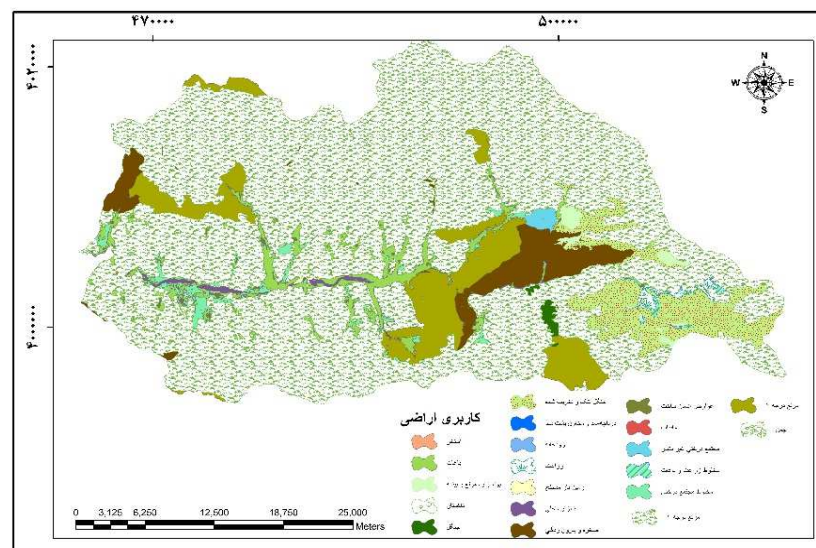
شکل (۳) نقشه جهات شیب در حوضه طالقان

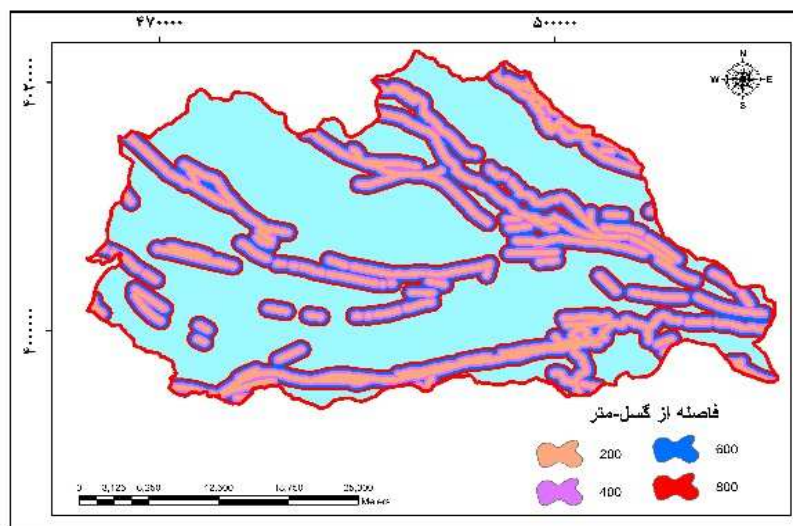


شکل (۴) نقشه طبقات ارتفاعی در حوضه طالقان

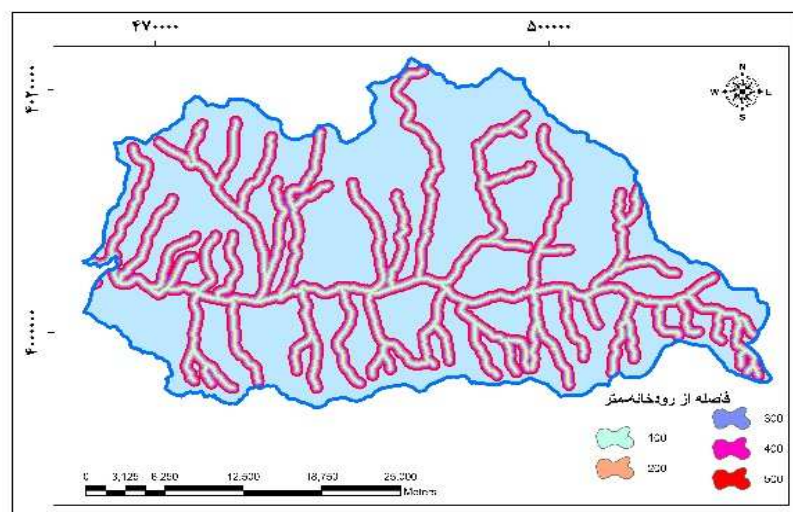


شکل (۵) نقشه سازندهای زمین شناسی

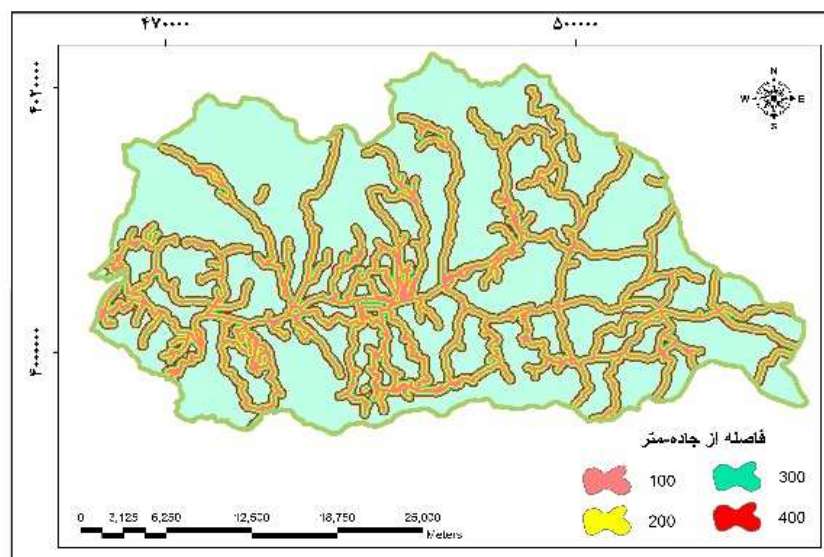




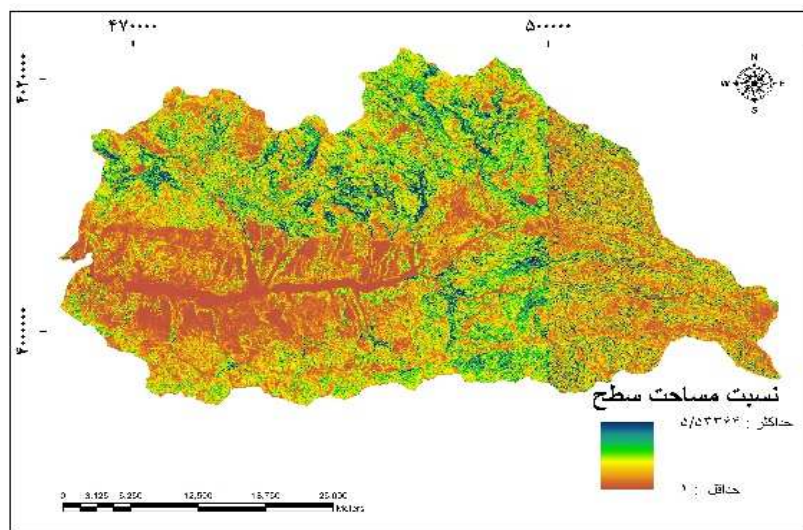
شکل (۸) نقشه فاصله از گسل در حوضه طالقان



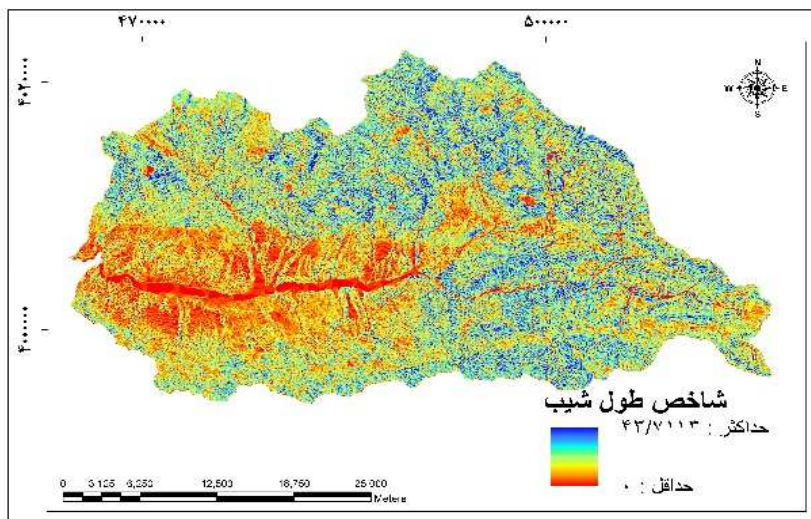
شکل (۹) نقشه فاصله از رودخانه حوضه طالقان



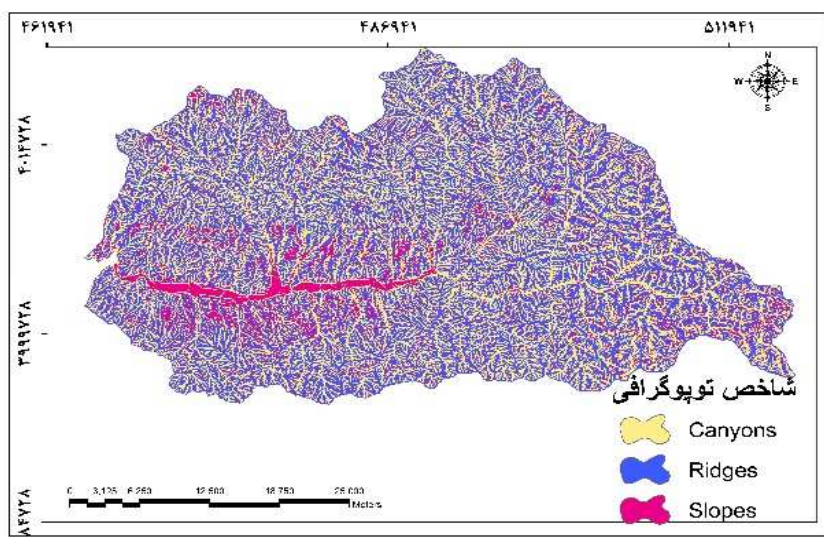
شکل (۱۰) نقشه فاصله از جاده حوضه طالقان



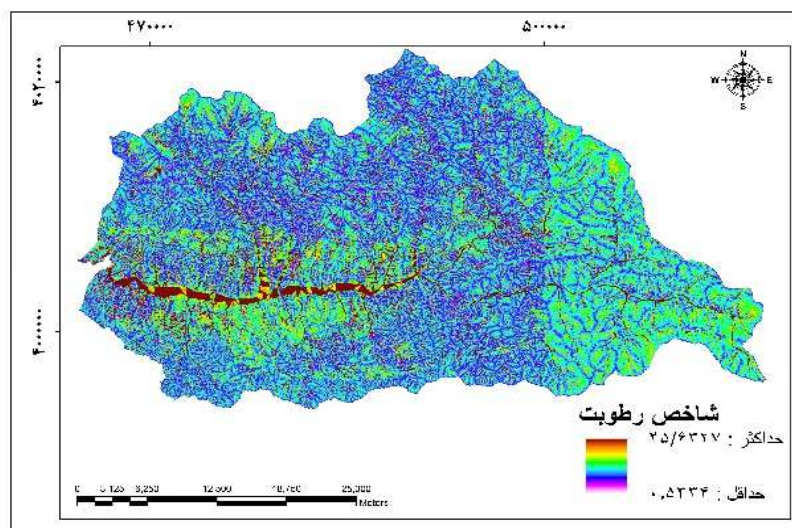
شکل (۱۱) نقشه نسبت مساحت سطح در حوضه طالقان



شکل (۱۲) نقشه شاخص طول شیب حوضه طالقان



شکل (۱۳) نقشه موقعیت توپوگرافی حوضه طالقان



شکل (۱۴) نقشه شاخص رطوبت حوضه طالقان

یافته‌ها و بحث

نتایج حاصل از ارتباط بین زمین لغزش، عوامل موثر و میزان اثر هریک از آنها با استفاده از شاخص آنتروپی شانون در جدول ۱ ارائه شده است. نتایج بررسی عوامل به کار گرفته شده در این تحقیق حاکی از آن است که بیشترین لغزش‌های منطقه در کلاس شیب ۱۵-۲۰ و ۲۰-۲۵ درجه رخ داده است. در شیب‌های کم برآیند نیرو به صورتی است که نیروی مقاوم (عمودی) بیشتر از نیروی محرکه (افقی) بوده و شرایط وقوع زمین لغزش فراهم نمی‌شود، در شیب‌های زیاد بالاتر از ۳۰ درجه فرایندهای فرسایشی دیگر غالب بوده و خاک کافی برای وقوع زمین لغزش تحت این شرایط وجود ندارد. بررسی عوامل داده که بیشترین وزن لغزشی یا مقدار P_{ij} به ترتیب به کلاس‌های جهت شمال غربی با تعداد ۱۴۲ مورد لغزش، کلاس ارتفاعی ۲۰۰۰-۲۵۰۰ (۴۱۱ لغزش)، عامل نسبت مساحت سطح در طبقه ۱-۲ (۵۵۳ لغزش)، عامل TPI در دامنه‌ها (۲۸۶ لغزش)، عامل TWI در طبقه ۶-۸ (۲۸۰ لغزش)، شاخص

طول شیب ALS در طبقه <5 لغزش)، عامل لیتولوژی در سنگ‌های نسبتاً نفوذ پذیر 308 لغزش)، عامل کاربری مرتع (527 لغزش)، طبقه $10,5$ از NDVI (258 لغزش)، فاصله $600-800$ متری از گسل (84 لغزش)، فاصله 400 متری از رودخانه (379 لغزش)، فاصله $200-300$ متری از جاده (198 لغزش) تعلق دارد.

جدول (۱) امتیاز اختصاص یافته عوامل موثر در لغزش

| عامل | طبقه | تعداد لغزش | امتیاز اختصاص یافته | عامل | طبقه | تعداد لغزش | امتیاز اختصاص یافته |
|----------------|-------------------|---------------|------------------------|--------|--------------|---------------|------------------------|
| شناختی | <6 | ۱۸۷ | ۵ | شیب | $-0,3$ | ۱۳۳ | ۳ |
| | ۶-۸ | ۲۸۰ | ۴ | | $3,6$ | ۱۷ | ۶ |
| | ۸-۱۰ | ۶۶ | ۳ | | $6,9$ | ۴۱ | ۸ |
| | >10 | ۵۴ | ۲ | | $9-12$ | ۱۰۳ | ۵ |
| | نفوذپذیر | ۷۹ | ۴ | | $12-15$ | ۱۴۴ | ۳ |
| | نسبتاً نفوذپذیر | ۳۰۸ | ۶ | | $15-20$ | ۱۸۸ | ۲ |
| | نفوذپذیر متوسط | ۱ | ۱ | | $20-100$ | ۱۵۳ | ۱ |
| | نفوذناپذیر | ۲۰۰ | ۵ | | همواره | ۰ | ۱ |
| | مخلط زراعت و باغت | ۴۶ | ۴ | | شمال | ۱۰۱ | ۴ |
| | مرتع | ۵۲۷ | ۶ | | شمال شرقی | ۴۶ | ۲ |
| کاربری لرخی | چنگل | ۲ | ۱ | | شرق | ۱۲ | ۱ |
| | زراعت | ۸ | ۱ | | جنوب | ۲۴ | ۱ |
| | صخره و بیرون زدگی | ۲ | ۱ | | شرقی | | |
| | عولض اسلام ساخت | ۰ | ۱ | | جنوب | ۱۰۳ | ۴ |
| | پهنه‌های آبی | ۰ | ۱ | | جنوب غربی | ۸۱ | ۳ |
| | چمن | ۰ | ۱ | | غرب | ۸۰ | ۳ |
| | پوشش | $-0,0,1$ | ۱ | | شمال غربی | ۱۳۲ | ۵ |
| گیاهی Ndvi | $-0,0,1$ | ۱۳ | ۱ | ارتفاع | >1650 | ۰ | ۱ |
| | $-0,0,1$ | | | | $-1650-2000$ | ۸۳ | ۴ |

| عامل | طبقه | تعداد لغزش | امتیاز اختصاص یافته | عامل | طبقه | تعداد لغزش | امتیاز اختصاص یافته |
|-----------------------|---------|------------|---------------------|-------------------------|------------------------------|------------|---------------------|
| فاصله از گسل مر | ۰,۰-۰,۵ | ۹۵ | ۳ | نسبت مساحت Asr | -۲۰۰۰ ۲۵۰۰ | ۴۱۱ | ۶ |
| | ۰,۰-۰,۱ | ۲۱۷ | ۴ | | -۲۵۰۰ ۳۰۰۰ | ۸۰ | ۴ |
| | ۰,۱-۰,۵ | ۲۵۸ | ۵ | | -۳۰۰۰ ۳۵۰۰ | ۱۴ | ۲ |
| | <۰,۵ | ۰ | ۱ | | -۳۵۰۰ ۴۰۰۰ | ۰ | ۱ |
| | >۰,۰ | ۲۵ | ۱ | | <۴۰۰۰ | ۰ | ۱ |
| فاصله از رودخانه | ۴۰۰-۲۰۰ | ۴۴ | ۲ | شخص توپوگرافی Tpi | ۱ | ۳۴ | ۳ |
| | ۶۰۰-۴۰۰ | ۴۷ | ۲ | | Feb-۱ | ۵۵۳ | ۶ |
| | ۸۰۰-۶۰۰ | ۳۹۰ | ۳ | | Mar-۲ | ۰ | ۱ |
| | <۸۰۰ | ۸۴ | ۵ | | May-۳ | ۰ | ۱ |
| | >۱۰۰ | ۲۹ | ۲ | شخص حلل شب Als | درهمای عیقق و گوئی ها | ۲۸۶ | ۶ |
| فاصله از رودخانه | ۲۰۰-۱۰۰ | ۳۸ | ۲ | | داننه ها | ۱۹۳ | ۳ |
| | ۳۰۰-۲۰۰ | ۳۹ | ۳ | | برآمده ها و خطالریس ها | ۱۰۸ | ۴ |
| | ۴۰۰-۳۰۰ | ۴۶ | ۳ | | <۵ | ۲۲۸ | ۵ |
| | ۵۰۰-۴۰۰ | ۴۰ | ۳ | | ۵-۱۰ | ۲۱۹ | ۴ |
| فاصله از جله | <۵۰۰ | ۵۵ | ۶ | | ۱۰-۱۵ | ۸۹ | ۳ |
| | >۱۰۰ | ۱۲۹ | ۴ | | ۲۰-۱۵ | ۲۶ | ۲ |
| | ۲۰۰-۱۰۰ | ۱۱۹ | ۳ | | >۲۰ | ۱۶ | ۱ |
| | ۳۰۰-۲۰۰ | ۱۹۸ | ۲ | | | | |
| | ۴۰۰-۳۰۰ | ۶۷ | ۲ | | | | |

| عامل | طبقه | تعداد لغزش | امتیاز اختصاص یافته | عامل | طبقه | تعداد لغزش | امتیاز اختصاص یافته |
|------|------|---------------|------------------------|------|------|---------------|------------------------|
| | <٤٠٠ | ٧٦ | ٥ | | | | |

در این پژوهش از امتیاز دو قطبی برای تبدیل مقادیر کیفی به کمی استفاده شد، مقیاس دو قطبی فاصله ای روش عمومی در رتبه بندی شاخص‌های کمی و کیفی است اندازه گیری در این روش براساس یک مقیاس ده نقطه ای است به طوری که صفر مشخص کننده کمترین ارزش ممکن که عملأً قابل درک باشد و ده نشان دهنده حداکثر ارزش ممکن از شاخص موردنظر است نقطه وسط نیز نقطه شکست مقیاس بین مساعدها و نامساعدهاست (اصغرپور، ۱۳۹۱، ص ۱۹۵).

در مرحله بعد با استفاده از امتیازهای اختصاص یافته در جدول شماره ۱ و تبدیل معیارها به عدد صحیح و تشکیل ماتریس اولیه (جدول ۱) مقدار P_{ij} (با استفاده از رابطه (4))، مقدار Z_j وزن نهایی از رابطه (8) و همچنین مقدار (K) با رابطه (9) بدست آمد و برای محاسبه مقدار (E_j) برای هر عامل با استفاده از رابطه (5) استفاده شد. نتایج این محاسبات در جدول شماره ۲ ارائه شده است.

جدول (۲) مقادیر شاخص‌های محاسبه شده عوامل موثر در لغزش با استفاده از آنتروپی

| | | | | |
|-------|------|------------------|------------------|------------------|
| ۱ | ردیف | شناخت ایندیکاتور | شناخت ایندیکاتور | فاصله از جاده |
| ۲ | ۳ | Ej | Vj | Wj |
| ۳ | ۱ | ردیف | شناخت ایندیکاتور | شناخت ایندیکاتور |
| ۴ | ۱۰۸ | - | - | - |
| ۵ | ۱۱۷ | - | - | - |
| ۶ | ۱۲۶ | - | - | - |
| ۷ | ۱۳۷ | - | - | - |
| ۸ | ۱۴۶ | - | - | - |
| ۹ | ۱۵۹ | - | - | - |
| ۱۰ | ۱۶۹ | - | - | - |
| ۱۱ | ۱۷۷ | - | - | - |
| ۱۲ | ۱۸۶ | - | - | - |
| ۱۳ | ۱۹۵ | - | - | - |
| ۱۴ | ۲۰۴ | - | - | - |
| ۱۵ | ۲۱۳ | - | - | - |
| ۱۶ | ۲۲۲ | - | - | - |
| ۱۷ | ۲۳۱ | - | - | - |
| ۱۸ | ۲۴۰ | - | - | - |
| ۱۹ | ۲۴۹ | - | - | - |
| ۲۰ | ۲۵۸ | - | - | - |
| ۲۱ | ۲۶۷ | - | - | - |
| ۲۲ | ۲۷۶ | - | - | - |
| ۲۳ | ۲۸۵ | - | - | - |
| ۲۴ | ۲۹۴ | - | - | - |
| ۲۵ | ۳۰۳ | - | - | - |
| ۲۶ | ۳۱۲ | - | - | - |
| ۲۷ | ۳۲۱ | - | - | - |
| ۲۸ | ۳۳۰ | - | - | - |
| ۲۹ | ۳۴۹ | - | - | - |
| ۳۰ | ۳۵۸ | - | - | - |
| ۳۱ | ۳۶۷ | - | - | - |
| ۳۲ | ۳۷۶ | - | - | - |
| ۳۳ | ۳۸۵ | - | - | - |
| ۳۴ | ۳۹۴ | - | - | - |
| ۳۵ | ۴۰۳ | - | - | - |
| ۳۶ | ۴۱۲ | - | - | - |
| ۳۷ | ۴۲۱ | - | - | - |
| ۳۸ | ۴۳۰ | - | - | - |
| ۳۹ | ۴۳۹ | - | - | - |
| ۴۰ | ۴۴۸ | - | - | - |
| ۴۱ | ۴۵۷ | - | - | - |
| ۴۲ | ۴۶۶ | - | - | - |
| ۴۳ | ۴۷۵ | - | - | - |
| ۴۴ | ۴۸۴ | - | - | - |
| ۴۵ | ۴۹۳ | - | - | - |
| ۴۶ | ۵۰۲ | - | - | - |
| ۴۷ | ۵۱۱ | - | - | - |
| ۴۸ | ۵۲۰ | - | - | - |
| ۴۹ | ۵۲۹ | - | - | - |
| ۵۰ | ۵۳۸ | - | - | - |
| ۵۱ | ۵۴۷ | - | - | - |
| ۵۲ | ۵۵۶ | - | - | - |
| ۵۳ | ۵۶۵ | - | - | - |
| ۵۴ | ۵۷۴ | - | - | - |
| ۵۵ | ۵۸۳ | - | - | - |
| ۵۶ | ۵۹۲ | - | - | - |
| ۵۷ | ۶۰۱ | - | - | - |
| ۵۸ | ۶۱۰ | - | - | - |
| ۵۹ | ۶۱۹ | - | - | - |
| ۶۰ | ۶۲۸ | - | - | - |
| ۶۱ | ۶۳۷ | - | - | - |
| ۶۲ | ۶۴۶ | - | - | - |
| ۶۳ | ۶۵۵ | - | - | - |
| ۶۴ | ۶۶۴ | - | - | - |
| ۶۵ | ۶۷۳ | - | - | - |
| ۶۶ | ۶۸۲ | - | - | - |
| ۶۷ | ۶۹۱ | - | - | - |
| ۶۸ | ۷۰۰ | - | - | - |
| ۶۹ | ۷۰۹ | - | - | - |
| ۷۰ | ۷۱۸ | - | - | - |
| ۷۱ | ۷۲۷ | - | - | - |
| ۷۲ | ۷۳۶ | - | - | - |
| ۷۳ | ۷۴۵ | - | - | - |
| ۷۴ | ۷۵۴ | - | - | - |
| ۷۵ | ۷۶۳ | - | - | - |
| ۷۶ | ۷۷۲ | - | - | - |
| ۷۷ | ۷۸۱ | - | - | - |
| ۷۸ | ۷۹۰ | - | - | - |
| ۷۹ | ۷۹۹ | - | - | - |
| ۸۰ | ۸۰۸ | - | - | - |
| ۸۱ | ۸۱۷ | - | - | - |
| ۸۲ | ۸۲۶ | - | - | - |
| ۸۳ | ۸۳۵ | - | - | - |
| ۸۴ | ۸۴۴ | - | - | - |
| ۸۵ | ۸۵۳ | - | - | - |
| ۸۶ | ۸۶۲ | - | - | - |
| ۸۷ | ۸۷۱ | - | - | - |
| ۸۸ | ۸۸۰ | - | - | - |
| ۸۹ | ۸۸۹ | - | - | - |
| ۹۰ | ۸۹۸ | - | - | - |
| ۹۱ | ۹۰۷ | - | - | - |
| ۹۲ | ۹۱۶ | - | - | - |
| ۹۳ | ۹۲۵ | - | - | - |
| ۹۴ | ۹۳۴ | - | - | - |
| ۹۵ | ۹۴۳ | - | - | - |
| ۹۶ | ۹۵۲ | - | - | - |
| ۹۷ | ۹۶۱ | - | - | - |
| ۹۸ | ۹۷۰ | - | - | - |
| ۹۹ | ۹۷۹ | - | - | - |
| ۱۰۰ | ۹۸۸ | - | - | - |
| ۱۰۱ | ۹۹۷ | - | - | - |
| ۱۰۲ | ۱۰۰۶ | - | - | - |
| ۱۰۳ | ۱۰۱۵ | - | - | - |
| ۱۰۴ | ۱۰۲۴ | - | - | - |
| ۱۰۵ | ۱۰۳۳ | - | - | - |
| ۱۰۶ | ۱۰۴۲ | - | - | - |
| ۱۰۷ | ۱۰۵۱ | - | - | - |
| ۱۰۸ | ۱۰۶۰ | - | - | - |
| ۱۰۹ | ۱۰۶۹ | - | - | - |
| ۱۱۰ | ۱۰۷۸ | - | - | - |
| ۱۱۱ | ۱۰۸۷ | - | - | - |
| ۱۱۲ | ۱۰۹۶ | - | - | - |
| ۱۱۳ | ۱۱۰۵ | - | - | - |
| ۱۱۴ | ۱۱۱۴ | - | - | - |
| ۱۱۵ | ۱۱۲۳ | - | - | - |
| ۱۱۶ | ۱۱۳۲ | - | - | - |
| ۱۱۷ | ۱۱۴۱ | - | - | - |
| ۱۱۸ | ۱۱۵۰ | - | - | - |
| ۱۱۹ | ۱۱۵۹ | - | - | - |
| ۱۲۰ | ۱۱۶۸ | - | - | - |
| ۱۲۱ | ۱۱۷۷ | - | - | - |
| ۱۲۲ | ۱۱۸۶ | - | - | - |
| ۱۲۳ | ۱۱۹۵ | - | - | - |
| ۱۲۴ | ۱۱۹۴ | - | - | - |
| ۱۲۵ | ۱۱۹۳ | - | - | - |
| ۱۲۶ | ۱۱۹۲ | - | - | - |
| ۱۲۷ | ۱۱۹۱ | - | - | - |
| ۱۲۸ | ۱۱۹۰ | - | - | - |
| ۱۲۹ | ۱۱۸۹ | - | - | - |
| ۱۳۰ | ۱۱۸۸ | - | - | - |
| ۱۳۱ | ۱۱۸۷ | - | - | - |
| ۱۳۲ | ۱۱۸۶ | - | - | - |
| ۱۳۳ | ۱۱۸۵ | - | - | - |
| ۱۳۴ | ۱۱۸۴ | - | - | - |
| ۱۳۵ | ۱۱۸۳ | - | - | - |
| ۱۳۶ | ۱۱۸۲ | - | - | - |
| ۱۳۷ | ۱۱۸۱ | - | - | - |
| ۱۳۸ | ۱۱۸۰ | - | - | - |
| ۱۳۹ | ۱۱۷۹ | - | - | - |
| ۱۴۰ | ۱۱۷۸ | - | - | - |
| ۱۴۱ | ۱۱۷۷ | - | - | - |
| ۱۴۲ | ۱۱۷۶ | - | - | - |
| ۱۴۳ | ۱۱۷۵ | - | - | - |
| ۱۴۴ | ۱۱۷۴ | - | - | - |
| ۱۴۵ | ۱۱۷۳ | - | - | - |
| ۱۴۶ | ۱۱۷۲ | - | - | - |
| ۱۴۷ | ۱۱۷۱ | - | - | - |
| ۱۴۸ | ۱۱۷۰ | - | - | - |
| ۱۴۹ | ۱۱۶۹ | - | - | - |
| ۱۵۰ | ۱۱۶۸ | - | - | - |
| ۱۵۱ | ۱۱۶۷ | - | - | - |
| ۱۵۲ | ۱۱۶۶ | - | - | - |
| ۱۵۳ | ۱۱۶۵ | - | - | - |
| ۱۵۴ | ۱۱۶۴ | - | - | - |
| ۱۵۵ | ۱۱۶۳ | - | - | - |
| ۱۵۶ | ۱۱۶۲ | - | - | - |
| ۱۵۷ | ۱۱۶۱ | - | - | - |
| ۱۵۸ | ۱۱۶۰ | - | - | - |
| ۱۵۹ | ۱۱۵۹ | - | - | - |
| ۱۶۰ | ۱۱۵۸ | - | - | - |
| ۱۶۱ | ۱۱۵۷ | - | - | - |
| ۱۶۲ | ۱۱۵۶ | - | - | - |
| ۱۶۳ | ۱۱۵۵ | - | - | - |
| ۱۶۴ | ۱۱۵۴ | - | - | - |
| ۱۶۵ | ۱۱۵۳ | - | - | - |
| ۱۶۶ | ۱۱۵۲ | - | - | - |
| ۱۶۷ | ۱۱۵۱ | - | - | - |
| ۱۶۸ | ۱۱۵۰ | - | - | - |
| ۱۶۹ | ۱۱۴۹ | - | - | - |
| ۱۷۰ | ۱۱۴۸ | - | - | - |
| ۱۷۱ | ۱۱۴۷ | - | - | - |
| ۱۷۲ | ۱۱۴۶ | - | - | - |
| ۱۷۳ | ۱۱۴۵ | - | - | - |
| ۱۷۴ | ۱۱۴۴ | - | - | - |
| ۱۷۵ | ۱۱۴۳ | - | - | - |
| ۱۷۶ | ۱۱۴۲ | - | - | - |
| ۱۷۷ | ۱۱۴۱ | - | - | - |
| ۱۷۸ | ۱۱۴۰ | - | - | - |
| ۱۷۹ | ۱۱۳۹ | - | - | - |
| ۱۸۰ | ۱۱۳۸ | - | - | - |
| ۱۸۱ | ۱۱۳۷ | - | - | - |
| ۱۸۲ | ۱۱۳۶ | - | - | - |
| ۱۸۳ | ۱۱۳۵ | - | - | - |
| ۱۸۴ | ۱۱۳۴ | - | - | - |
| ۱۸۵ | ۱۱۳۳ | - | - | - |
| ۱۸۶ | ۱۱۳۲ | - | - | - |
| ۱۸۷ | ۱۱۳۱ | - | - | - |
| ۱۸۸ | ۱۱۳۰ | - | - | - |
| ۱۸۹ | ۱۱۲۹ | - | - | - |
| ۱۹۰ | ۱۱۲۸ | - | - | - |
| ۱۹۱ | ۱۱۲۷ | - | - | - |
| ۱۹۲ | ۱۱۲۶ | - | - | - |
| ۱۹۳ | ۱۱۲۵ | - | - | - |
| ۱۹۴ | ۱۱۲۴ | - | - | - |
| ۱۹۵ | ۱۱۲۳ | - | - | - |
| ۱۹۶ | ۱۱۲۲ | - | - | - |
| ۱۹۷ | ۱۱۲۱ | - | - | - |
| ۱۹۸ | ۱۱۲۰ | - | - | - |
| ۱۹۹ | ۱۱۱۹ | - | - | - |
| ۲۰۰ | ۱۱۱۸ | - | - | - |
| ۲۰۱ | ۱۱۱۷ | - | - | - |
| ۲۰۲ | ۱۱۱۶ | - | - | - |
| ۲۰۳ | ۱۱۱۵ | - | - | - |
| ۲۰۴ | ۱۱۱۴ | - | - | - |
| ۲۰۵ | ۱۱۱۳ | - | - | - |
| ۲۰۶ | ۱۱۱۲ | - | - | - |
| ۲۰۷ | ۱۱۱۱ | - | - | - |
| ۲۰۸ | ۱۱۱۰ | - | - | - |
| ۲۰۹ | ۱۱۱۹ | - | - | - |
| ۲۱۰ | ۱۱۱۸ | - | - | - |
| ۲۱۱ | ۱۱۱۷ | - | - | - |
| ۲۱۲ | ۱۱۱۶ | - | - | - |
| ۲۱۳ | ۱۱۱۵ | - | - | - |
| ۲۱۴ | ۱۱۱۴ | - | - | - |
| ۲۱۵ | ۱۱۱۳ | - | - | - |
| ۲۱۶ | ۱۱۱۲ | - | - | - |
| ۲۱۷ | ۱۱۱۱ | - | - | - |
| ۲۱۸ | ۱۱۱۰ | - | - | - |
| ۲۱۹ | ۱۱۱۹ | - | - | - |
| ۲۲۰ | ۱۱۱۸ | - | - | - |
| ۲۲۱ | ۱۱۱۷ | - | - | - |
| ۲۲۲ | ۱۱۱۶ | - | - | - |
| ۲۲۳ | ۱۱۱۵ | - | - | - |
| ۲۲۴ | ۱۱۱۴ | - | - | - |
| ۲۲۵ | ۱۱۱۳ | - | - | - |
| ۲۲۶ | ۱۱۱۲ | - | - | - |
| ۲۲۷ | ۱۱۱۱ | - | - | - |
| ۲۲۸ | ۱۱۱۰ | - | - | - |
| ۲۲۹ | ۱۱۱۹ | - | - | - |
| ۲۳۰ | ۱۱۱۸ | - | - | - |
| ۲۳۱ | ۱۱۱۷ | - | - | - |
| ۲۳۲ | ۱۱۱۶ | - | - | - |
| ۲۳۳ | ۱۱۱۵ | - | - | - |
| ۲۳۴ | ۱۱۱۴ | - | - | - |
| ۲۳۵ | ۱۱۱۳ | - | - | - |
| ۲۳۶ | ۱۱۱۲ | - | - | - |
| ۲۳۷ | ۱۱۱۱ | - | - | - |
| ۲۳۸ | ۱۱۱۰ | - | - | - |
| ۲۳۹ | ۱۱۱۹ | - | - | - |
| ۲۴۰ | ۱۱۱۸ | - | - | - |
| ۲۴۱ | ۱۱۱۷ | - | - | - |
| ۲۴۲ | ۱۱۱۶ | - | - | - |
| ۲۴۳ | ۱۱۱۵ | - | - | - |
| ۲۴۴ | ۱۱۱۴ | - | - | - |
| ۲۴۵ | ۱۱۱۳ | - | - | - |
| ۲۴۶ | ۱۱۱۲ | - | - | - |
| ۲۴۷ | ۱۱۱۱ | - | - | - |
| ۲۴۸ | ۱۱۱۰ | - | - | - |
| ۲۴۹ | ۱۱۱۹ | - | - | - |
| ۲۵۰ | ۱۱۱۸ | - | - | - |
| ۲۵۱ | ۱۱۱۷ | - | - | - |
| ۲۵۲ | ۱۱۱۶ | - | - | - |
| ۲۵۳ | ۱۱۱۵ | - | - | - |
| ۲۵۴ | ۱۱۱۴ | - | - | - |
| ۲۵۵ | ۱۱۱۳ | - | - | - |
| ۲۵۶ | ۱۱۱۲ | - | - | - |
| ۲۵۷ | ۱۱۱۱ | - | - | - |
| ۲۵۸ | ۱۱۱۰ | - | - | - |
| ۲۵۹ | ۱۱۱۹ | - | - | - |
| ۲۶۰ | ۱۱۱۸ | - | - | - |
| ۲۶۱ | ۱۱۱۷ | - | - | - |
| ۲۶۲ | ۱۱۱۶ | - | - | - |
| ۲۶۳ | ۱۱۱۵ | - | - | - |
| ۲۶۴ | ۱۱۱۴ | - | - | - |
| ۲۶۵ | ۱۱۱۳ | - | - | - |
| ۲۶۶ | ۱۱۱۲ | - | - | - |
| ۲۶۷ | ۱۱۱۱ | - | - | - |
| ۲۶۸ | ۱۱۱۰ | - | - | - |
| ۲۶۹ | ۱۱۱۹ | - | - | - |
| ۲۷۰ | ۱۱۱۸ | - | - | - |
| ۲۷۱ | ۱۱۱۷ | - | - | - |
| ۲۷۲ | ۱۱۱۶ | - | - | - |
| ۲۷۳ | ۱۱۱۵ | - | - | - |
| ۲۷۴ | ۱۱۱۴ | - | - | - |
| ۲۷۵ | ۱۱۱۳ | - | - | - |
| ۲۷۶ | ۱۱۱۲ | - | - | - |
| ۲۷۷ | ۱۱۱۱ | - | - | - |
| ۲۷۸ | ۱۱۱۰ | - | - | - |
| ۲۷۹ | ۱۱۱۹ | - | - | - |
| ۲۸۰ | ۱۱۱۸ | - | - | - |
| ۲۸۱ | ۱۱۱۷ | - | - | - |
| ۲۸۲ | ۱۱۱۶ | - | - | - |
| ۲۸۳ | ۱۱۱۵ | - | - | - |
| ۲۸۴ | ۱۱۱۴ | - | - | - |
| ۲۸۵ | ۱۱۱۳ | - | - | - |
| ۲۸۶ | ۱۱۱۲ | - | - | - |
| ۲۸۷ | ۱۱۱۱ | - | - | - |
| ۲۸۸ | ۱۱۱۰ | - | - | - |
| ۲۸۹ | ۱۱۱۹ | - | - | - |
| ۲۹۰ | ۱۱۱۸ | - | - | - |
| ۲۹۱</ | | | | |

بر اساس محاسبات فوق با مدل آنتروپی، در بین ۱۳ لایه اطلاعاتی فوق لایه جهت شب دامنه، کاربری اراضی، ارتفاع، شب، تراکم پوشش گیاهی و فاصله از رودخانه به ترتیب بیشترین سهم را در بین عوامل وقوع لغزش به خود اختصاص داده اند. از نظر رفتاری، تقریباً انواع مختلف رفتارهای حرکتی در وقوع زمین لغزش‌های این منطقه مشاهده می‌گردد. حضور یخچال‌های موقت در اتفاقات و سرشاخه‌های آبراهه‌ها باعث شده که لایه‌های سطحی فرسایش یافته، به تدریج با ذوب برف و حرکت آن به سمت پایین و تحت تأثیر سنجنی آن، به صورت تدریجی و آرام به همراه برف به حرکت درآمده و پدیده لغزش به وجود می‌آید. گسل خوردگی در مناطق مختلف به ویژه در نقاط مرتفع اتفاقات جنوبی حوضه، باعث ایجاد تعداد متناهی زمین لغزش با ویژگی‌های رفتاری متفاوت و گاهی پیچیده در طول منطقه خرد شده گردیده است. با بررسی نقشه جهت شب در حوضه مشخص گردید که جهت شب جنوبی و متمایل به جنوب در حوضه طالقان نقش کمتری در وقوع زمین لغزش در منطقه دارند. دلایل این مسئله را می‌توان در دریافت بیشتر میزان تابش آفتاب در طول روز و در نتیجه، کمتر بودن میزان رطوبت و آب درون توده خاک در این وجوده، در مقایسه با وجود شمالی و متمایل به شمال عنوان نمود. همچنین بررسی نقشه شب حوضه و شب پهنه‌های لغزشی بیانگر این امر است که بیشتر ناپایداریها در شب‌های بالای ۲۰ درجه رخ داده است که بیشتر حاکی از این امر است که نیروهای محركه (افقی) بیشتر از نیروهای مقاوم (عمودی) است بنابراین جابجایی دامنه در این شبها بیشتر می‌باشد. در رابطه با شاخص پوشش گیاهی تفاضلی نرمال شده ذکر این نکته ضروری است که کمینه و بیشینه مقادیر از ۰,۰۰۱ تا ۰,۵ متفاوت بوده و مناطقی با پوشش گیاهی تنک و پراکنده و خاک لخت، بیشترین احتمال رخداد لغزش و مناطقی با پوشش گیاهی متراکم و جنگلی، کمترین احتمال وقوع زمین لغزش را دارند. میزان نقش هر کدام از سطوح لایه فاصله از آبراهه‌ها در وقوع زمین لغزش منطقه نشان می‌دهد که فاصله بیشتر از آبراهه به معنای کمتر شدن میزان وقوع زمین لغزش در منطقه است. البته این می‌تواند به معنای نقش زیاد عامل زیر شویی در وقوع زمین لغزش در حوضه طالقان تلقی گردد.

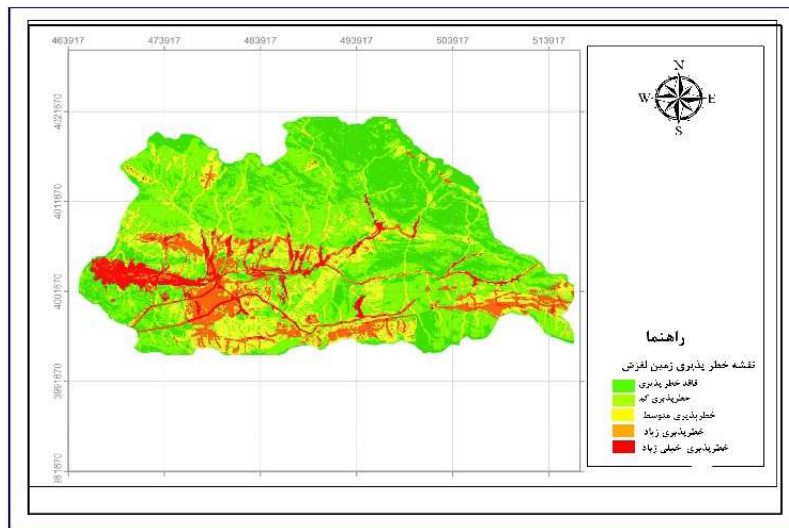
در نهایت مدل ناحیه‌ای خطر زمین لغزش در حوضه طالقان با استفاده از رابطه (۹) به صورت زیر به دست آمد:

$$H = (S \times 1/18) + (As \times 1/52) + (H \times 1/19) + (La \times 1/37) + (N \times 1/02) + (Ri \times 1/02)$$

در این رابطه S:شیب، As:جهت شیب، H:ارتفاع، La:کاربری اراضی، N:شاخص پوشش گیاهی، Ri:فاصله از رودخانه.

به منظور پهنه بندی حساسیت زمین لغزش از شش فاکتور فوق که بیشترین وزن‌ها را داشته اند استفاده گردید. بدین صورت که بعد از تعیین وزن نهایی هر عامل و ضرب آن در کلاس‌های عامل مذکور، نقشه‌های وزنی با هم جمع شده و نقشه نهایی حساسیت زمین لغزش به دست آمد. سپس نقشه مذکور بر اساس شکستگی‌های طبیعی به پنج کلاس فاقد خطر پذیری، خطر پذیری کم، خطرپذیری متوسط، خطر پذیری زیاد، خطرپذیری خیلی زیاد تقسیم بندی گردید(شکل شماره ۱۵). نتایج پهنه بندی خطر زمین لغزش در شکل ۱۴ نشان داده است که به ترتیب ۸۴/۰۸، ۴۶/۰۲، ۴۵/۰۲ و ۲۰/۰۲ درصد از منطقه مورد مطالعه در طبقه فاقد خطر پذیری، خطر پذیری کم، خطرپذیری متوسط، خطر پذیری زیاد، خطرپذیری خیلی زیاد قرار گرفته است نتایج نشان می‌دهد مناطق واقع در شمال شرق و برخی مناطق مرکزی و جنوب غرب دارای خطر بسیار کم تا کم می‌باشد. در حالیکه بیشتر مناطق مورد مطالعه دارای خطر متوسط تا بسیار زیاد است. به منظور ارزیابی دقت مدل با قرار دادن موقعیت زمین لغزش‌ها بر روی نقشه پهنه بندی تهیه شده، مشخص گردید که از ۱۷ پهنه لغزشی انتخابی در حوضه تمامی پهنه‌ها در پهنه خطر پذیری زیاد تا خیلی زیاد قرار گرفته اند. مساحت پهنه‌های خطر زمین لغزش در منطقه مورد مطالعه حاکی از آسیب پذیری بالای منطقه در برابر مخاطره زمین لغزش است. با بررسی‌های صورت گرفته بر روی منطق طرح مشخص گردید که عناصر و اجزایی که در صورت وقوع زمین لغزش می‌توانند در معرض خطر قرار گیرند محدود به مناطق مسکونی، جاده‌ها، رودخانه‌ها، دریاچه طالقان و سد مخزنی طالقان است. عناصر و اجزاء و کاربری‌های مختلفی که در منطقه وجود دارند از ابعاد مختلف دارای اهمیت‌های متفاوتی هستند. بدینهی است که انسان و دارایی‌های او، در صورت بروز هرگونه خطری، از اولویت بالاتری برخوردار هستند. بدین ترتیب، مناطق مسکونی و جمعیتی در بالاترین میزان اولویت

قرار می‌گیرند. اما مواردی نیز وجود دارند که در صورت قرار گرفتن در خطر زمین لغزش، خود می‌توانند خطر بالقوه بزرگتری را ایجاد نمایند. دریاچه طالقان و سد مربوطه می‌توانند از جمله این عوامل باشند. در صورت وقوع زمین لغزش در دریاچه، امکان از بین رفتن سد و رها شدن آب موجود آن به سمت پایین دست، خطر به مراتب بزرگتری را، در مقایسه با وقوع زمین لغزش، می‌تواند ایجاد نماید. بر اساس نقشه پهنه بندی خطر حوضه طالقان کمترین میزان خطر پذیری مربوط به روختانه و جاده می‌باشد و روستاهای دریاچه طالقان سد مخزنی طالقان از خطر پذیری بالایی برخوردار می‌باشند.



شکل (۱۵) خطر پذیری زمین لغزش در حوضه طالقان

نتیجه گیری

تهیه نقشه حساسیت زمین لغزش، پیش زمینه‌ای در شناخت عوامل مؤثر بر وقوع زمین لغزش، رخداد آن، مدیریت خطر و روش‌های پیشگیری از خطر و ریسک است. هدف از تحقیق حاضر اولویت بندی عوامل مؤثر بر وقوع زمین لغزش و پهنه بندی حساسیت آن در حوضه طالقان با استفاده از شاخص آنتروپی شانون است. پس از تهیه نقشه پراکنش زمین لغزش



ها، لایه‌های اطلاعاتی شبیب، جهت شبیب، طبقه ارتفاعی، لیتوژوئی، کاربری اراضی، فاصله از جاده، فاصله از گسل، فاصله از آبراهه، شاخص طول شبیب، شاخص رطوبت، شاخص گیاهی نرمال شده، نسبت مساحت سطح وشاخص وضعیت توپوگرافی به عنوان عوامل مؤثر بر وقوع زمین لغزش در منطقه مورد مطالعه انتخاب گردیدند. اولویت بندی عوامل مؤثر با استفاده از شاخص آنتروبی شانون نشان داد که لایه‌های جهت شبیب، کاربری اراضی، ارتفاع، شبیب، و شاخص پوشش گیاهی تفاضلی نرمال شده و فاصله از رودخانه بیشترین تأثیر را بر وقوع زمین لغزش منطقه داشته اند و عوامل وضعیت توپوگرافی، شاخص رطوبت، زمین شناسی، فاصله از گسل و جاده و بقیه لایه‌های اطلاعاتی کمترین تأثیر را داشته. نقشه خطر پذیری حوضه طالقان نشان می‌دهد که مناطق واقع در شمالشرق و برخی مناطق مرکزی و جنوب غرب دارای خطر بسیار کم تا کم می‌باشد. در حالیکه بیشتر مناطق مورد مطالعه دارای خطر متوسط تا بسیار زیاد است. بنابراین به عنوان پیشنهاد می‌توان گفت که نقشه مذکور می‌تواند نقشه به سزایی در تصمیم‌گیری‌های آتی، مدیریت دامنه‌های خطرناک و آمايش سرز مین در منطقه مورد مطالعه داشته باشد.



منابع

- اصغرپور، محمدجواد، ۱۳۹۱، *تصمیم‌گیریهای چند معیاره، انتشارات دانشگاه تهران، چاپ دهم. ص ۱۹۵-۱۹۸*
- محمدخان، شیرین، ویسی، عبدالکریم، باقری، کیوان (۱۳۹۳) پتانسیل سنگی خطر زمین لغزش با استفاده از مدل آنتروپی، مطالعه‌ی موردی: (منطقه کوهستانی شیرپناه در جنوب غرب استان کرمانشاه)، *فصلنامه‌ی جغرافیای سرزمین، سال یازدهم، شماره‌ی ۴۴، ص ۸۹-۱۰۲*
- مقیمی، ابراهیم، باقری، س. صفرداد، ط، ۱۳۹۱، پهنه بندی خطر وقوع زمین لغزش با استفاده از مدل، آنتروپی(مطالعه موردی: اقیس نسار زاگرس شمال غربی)، *مجله پژوهش‌های جغرافیای طبیعی، شماره ۷۹، ص ۹۰-۷۷*.
- یمانی، مجتبی، گورابی، ابوالقاسم، پیرانی، پریسا، مرادپور، فاطمه، شعبانی، عراقی، عارفه (۱۳۹۳). ارزیابی ژئومفوولوژیکی پتانسیل زمین لغزش تافقیس سیاه کوه، غرب ایران، *فصلنامه‌ی برنامه ریزی و آمايش فضای دوره‌ی هجدهم، شماره‌ی ۳، ص ۱۴۷-۱۷۰*
- http://www.jennessent.com/arcview/surface_areas.htm (connected: 10.08.2003).
- Baas, A., 2007, Complex Systems in Aeolian Geomorphology, *Geomorphology*, Vol. 91, PP.311-331.
- Bednarik, M., Magulova, B., Matys, M., Marschalko, M., 2010, Landslide Susceptibility Assessment of the Kral'ovany–Liptovsky' Mikulaš Railway Case Study, *Physics and Chemistry of the Earth*, Vol. 35, PP.162-171.
- Constantin, M., M. Bednarik, M. C. Jurchescu, and M. Vlaicu. 2011. Landslide susceptibility assessment using thebivariate statistical analysis and the index of entropy in the Sibiciu Basin (Romania). *Environ. Earth Sci.* 63: 97–406.
- Fathi, Mohammad Hoessin, Khohdel Kazem, Amir, Kandi Shoreh, Ashrafieini Zahra, Khaliji,Mohammad Ali (2015) The combination of spectral and spatial data in zoning of landslidesusceptibility (Case

- study: Sangorchay reservoir) Journal of Biodiversity and Environmental Sciences (JBES). Vol. 6, No. 2, pp 515-527.
- Fell, R., Corominas, J., Bonnard, CH., Cascini, L., Leroi, E., Savage, Z.S., 2008, Guidelines for Landslide Susceptibility, Hazard and Risk Zoning for Land Use Planning, Engineering Geology, Vol. 102, PP. 85-98.
- Hattanji, T., & Moriwaki, H., (2009), "Morphometric analysis of relic landslides using detailed landslide distribution maps: Implications for forecasting travel distance of future landslides", Journal of Geomorphology, No, 103, Pp. 447-454.
- H.Hong. Haghibi S. A. Pourghasemi. H. R (2016). GIS-based landslide spatial modeling in Ganzhou City, China, Arab J Geosci Journal, 9:112.
- J,Davis. L. Blesius (2015). A Hybird physical and Maximum- Entropy Landslide Susceptibility Model. Entropy Journal, 17, 4271-4292.
- Jenness, J. 2002. Surface Areas and Ratios from Elevation Grid, Jenness Enterprises,
- K, Ch. Devkota. A. D. Regmi. H. R. Pourghasemi, K, Yoshida. B, radhan. I, Ch. Ryu. M, R. Dhital. O, F. Althuwaynee (2013). Landslide susceptibility mapping using certainty factor, Index of Entropy and Logistic Regression in GIS and their comparison at Mugling-Narayanghat road section in Nepal Himalaya.Natural hazard, 65:135-165.
- Koehorst, B. A. N., O. Kjekstad, D. Patel, Z. Lubkowski, J. G. Knoeff and G. J. Akkerman. 2005. Work package 6, Determination of Socio-Economic Impact of Natural Disasters, Assessing socio-economic Impact in Europe. 173p.
- Kumar Dahal, R., 2008, Predictive Modeling of Rainfall-induced Landslide Hazard in the Lesser Himalaya of Nepal Based on Weights-of-evidence, Geomorphology, Vol. 102, PP.496-510.

- Luna, B., Langbein, W.B., 1963, The Concept of Entropy in Landscape Evolution, Geological Survey Professional Paper, U.S. Govt. Print. Off, Washington
- Minasny, B., McBratney, A., Blanes, S., 2008, Quantitative Models for Pedogenesis – A Review, *Geoderma*, Vol. 144, PP. 140-157.
- Moore, I.D., P.E. Gessler, G.A. Neslesn and G.A. Peterson. 1993. Soil attributes prediction using terrain analysis. *Soil Sci. Society American J.* 57(2): 443-452.
- Pourghasemi, H. R., M. Mohammady, and B. Pradhan. 2012a. Landslide susceptibility mapping using index of entropy and conditional probability models in GIS: Safarood Basin, Iran, *Catena* 97: 71–84.
- Pourghasemi H.R., B., Pradhan, C., Gokceoglu and K. Deylami Moezzi. 2012c. A comparative assessment of prediction capabilities of Dempster-Shafer and weights-of-evidence models in landslide susceptibility mapping using GIS. *Geomatics Nat.Hazards&Risk*. doi:10.1080/19475705.2012.662915.
- Ramakrishna, D., M.K., Ghose, R., Vinu Chandra and A. Jeyaram. 2005. Probabilistic techniques, GIS and remotesensing in landslide hazard mitigation: a case study from Sikkim Himalayas, India. *Geocartography Int.* 20 (4):53–58.
- Shannon, C.E. 1948. A mathematical theory of communication. *Bulletin System Technol. J.* 27: 379–423.
- Sharma, L.P., N. Patel, M. K. Ghose and P. Debnath. 2010. Influence of Shannon's entropy on landslide-causing parameters for vulnerability study and zonation-a case study in Sikkim, India. *Arab. J. Geosci.* 5 (3): 421-431.
- Yufeng, S. and J. Fengxiant. 2009. Landslide Stability Analysis Based on Generalized Information Entropy, International Conference on Environmental Science and Information Application echnology. 83-85. DOI10.1109/ESIAT.2009.258.

- Youssef A M Pourghasemi H R El-Hadad B A Dhahry B K(2016) Landslide susceptibility maps using different probabilistic and bivariate statistical models and comparison of their performance at Wadi Itwad Basin, Asir Region, Saudi Arabia .Bull Eng Geol Environ . 75:63–87.
- Wan, S. 2009. A spatial decision support system for extracting the core factors and thresholds for landslide susceptibility map. Eng. Geo. 108: 237-251
- Zongji, Y. Jianping; Q. Xiaogang., ZH. (2010). "Regional Landslide Zonation Based on EntropyMethod in Three Gorges Area, China", Fuzzy Systems and Knowledge Discovery (FSKD).Seventh International Conference on Fuzzy Systems and Knowledge Discovery, 1336- 339,Doi:10.1109/FSKD.2010.5569097.Downloaded from